

Оно является уравнением гипергеометрической функции  $F(\alpha, \beta, 1, x)$ , где  $\alpha\beta = -j^2$ ,  $\alpha + \beta = 1$ . Итак, вблизи  $x = 0$   $R_1(x) = F(\alpha, \beta, 1, x)$  с асимптотикой  $R_1 \rightarrow 1$  при  $x \rightarrow 0$ . Вронскиан двух независимых решений равен

$$R_1 R_2' - R_1' R_2 = C(x(1-x))^{-1} \Rightarrow \\ \Rightarrow (R_2/R_1)' = C(x(1-x)R_1^2)^{-1}.$$

Интегрирование последнего выражения вблизи  $x = 0$  дает для  $R_2$  логарифмическую особенность при  $x \rightarrow 0$ . Основная интерпретация вектора состояния связана с плотностью вероятности. Если система во внутренней области находится в состоянии  $\Psi(x)$ , то плотность вероятности равна  $P(x) = \bar{\rho}(x)\Psi^2(x)$ . Функция  $R_2$  имеет логариф-

мическую особенность в нуле, однако величина  $P_2(x) = \bar{\rho}(x)R_2^2(x)$  в нуле конечна, и поэтому  $P_2$  можно рассматривать как плотность вероятности, а функция  $R_2$  может быть использована в качестве вектора состояния.

#### Литература

1. Sanchez N. // J. Phys. Rev. 1977. **D16**, No. 4. P. 937.
2. Kato T. Теория возмущений линейных операторов. М., 1972.
3. Наймарк М.А. Линейные дифференциальные операторы. М., 1969.

Поступила в редакцию  
17.06.02

УДК 523.72:323.43

## ГОФРИРОВОЧНАЯ НЕУСТОЙЧИВОСТЬ ПЛОСКОЙ УДАРНОЙ МГД ВОЛНЫ

Ф. В. Шугаев, А. П. Калинин

(кафедра квантовой статистики и теории поля)

E-mail: shugaev@phys.msu.ru

Приводится критерий неустойчивости плоской МГД ударной волны.

Существуют два вида неустойчивости разрывов: 1) неустойчивость по отношению к распаду; 2) неустойчивость к изменению формы, или гофрировочная неустойчивость. Гофрировочная неустойчивость ударных волн в классической газодинамике была исследована Дьяковым [1], Конторовичем [2], Иорданским [3]. Для случая ударных волн в магнитной гидродинамике такие работы отсутствуют.

Задача ставится следующим образом: на фронте плоской ударной волны, распространяющейся по однородной покоящейся среде, имеется небольшое возмущение. В начальный момент скорость ударной волны во всех точках фронта постоянна. Кроме того, предполагается, что в начальный момент возмущения распространяются в направлении от фронта волны, а не к нему.

Мы считаем, что ударная волна устойчива, если возмущение убывает со временем, и неустойчива, если возмущение нарастает. В работах [1–3] решается линейная задача. Ниже использованы нелинейные уравнения, однако рассмотрение ограничено лишь малым промежутком времени.

В переменных Эйлера уравнения магнитной гидродинамики записываются следующим образом:

$$\frac{\partial v_i}{\partial t} + v^j \frac{\partial v_i}{\partial x^j} = -\frac{1}{\rho} \frac{\partial p}{\partial x^i} + \frac{1}{4\pi\rho} (\text{rot } \mathbf{B} \times \mathbf{B})_i, \\ \frac{\partial B_i}{\partial t} = \text{rot}_i(\mathbf{v} \times \mathbf{B}),$$

$$\frac{\partial B^i}{\partial x^i} = 0, \\ \frac{dS}{dt} = 0, \\ \frac{\partial \rho}{\partial t} + \frac{\partial(\rho v_j)}{\partial x^j} = 0, \quad (1)$$

где  $v_i$  — компоненты скорости среды,  $p$  — давление,  $\rho$  — плотность,  $S$  — энтропия,  $\mathbf{B}$  — индукция магнитного поля. Считается, что проводимость среды бесконечна.

Система (1) допускает решения в виде волн трех типов: 1) быстрых магнитозвуковых волн; 2) медленных магнитозвуковых волн; 3) альвеновских волн. Скорости их распространения относительно среды равны соответственно

$$U_{1,2} = \sqrt{1/2} \sqrt{c^2 + \frac{B^2}{4\pi\rho} \pm \sqrt{\left(c^2 + \frac{B^2}{4\pi\rho}\right)^2 - c^2 \frac{B_n^2}{\pi\rho}}}, \\ U_3 = \frac{B_n}{\sqrt{4\pi\rho}}.$$

Здесь  $B_n$  — нормальная к фронту волны компонента вектора магнитной индукции.

Ниже рассматриваются быстрые ударные волны. Как известно [4], температура и магнитное поле

возрастают при переходе через быстрые ударные волны.

Введем лучи, касательная к которым направлена вдоль внешней нормали  $n_i$  к фронту волны. Уравнение луча имеет вид:

$$\frac{dx_i}{dt} = Gn_i,$$

где  $G$  — скорость распространения волны. Положение луча характеризуется криволинейными координатами точки пересечения луча с фронтом волны в начальный момент времени  $u^\alpha$ ,  $\alpha = 1; 2$ . Таким образом, величины  $u^\alpha$  постоянны вдоль луча. В дальнейшем используются лагранжевы переменные  $u^1, u^2, \tau$ , где  $\tau$  — момент времени, в который рассматриваемая частица пересекает фронт ударной волны. Таким образом, все величины зависят от  $u^1, u^2, \tau, t$ .

Граничные условия на ударной волне имеют вид [4]:

$$(\gamma+1)\varepsilon^3 - \left( (\gamma-1) + \frac{2}{M^2} + \frac{\gamma+2}{M_a^2} + \frac{\gamma}{(M_a \cos^2 \Theta)^2} \right) \varepsilon^2 + \left( \frac{\gamma M^2 + 4}{(M M_a)^2} + \frac{\gamma + 1 - M_a^2(2 - \gamma)}{M_a^4 \cos^2 \Theta} \right) \varepsilon - \left( \frac{2}{M^2 M_a^4} + \frac{\gamma - 1}{M_a^4 \cos^2 \Theta} \right) = 0,$$

$$v_i^{(2)} = G(1 - \varepsilon)n_i + \varkappa g^{\alpha\beta} B_\alpha^{(1)} \frac{\partial x_i}{\partial u^\beta},$$

$$\frac{p_2}{p_1} = 1 + \gamma M^2 (1 - \varepsilon) \left\{ 1 - \frac{\text{tg}^2 \Theta}{M_a^2 \left( \varepsilon - \frac{1}{M_a^2} \right)^2} \left( \frac{1 + \varepsilon}{2} - \frac{1}{M_a^2} \right) \right\},$$

$$B_i^{(2)} = B_n n_i + \xi g^{\alpha\beta} B_\alpha^{(1)} \frac{\partial x_i}{\partial u^\beta}, \quad B_\alpha^{(1)} = B_k^{(1)} \frac{\partial x^k}{\partial u^\alpha},$$

$$M_a = \frac{G \sqrt{4\pi \rho_1}}{B_n}, \quad \varkappa = \frac{1 - \varepsilon}{M_a (\varepsilon - 1/M_a^2)}, \quad \varepsilon = \frac{\rho_1}{\rho_2},$$

$$\xi = \frac{M_a^2 - 1}{\varepsilon M_a^2 - 1},$$

где  $\Theta$  — угол между нормалью к фронту волны и направлением магнитного поля,  $\gamma = C_P/C_V$ ,  $B_k^{(1)}$  — проекции вектора индукции магнитного поля на соответствующую ось, верхний индекс (1) относится к значению перед фронтом ударной волны,  $M$  — число Маха,  $M_a$  — число Альвена,  $g^{\alpha\beta}$  — контравариантные компоненты метрического тензора непосредственно за фронтом волны.

Написанная система позволяет найти плотность, скорость, давление, компоненты магнитного поля за фронтом ударной волны, если известны соответствующие величины в невозмущенной среде. Нормальная компонента магнитного поля непрерывна при переходе через фронт волны.

Характеристическая форма уравнений магнитной гидродинамики такова:

$$l_i^{(1)} \frac{\partial v^i}{\partial t} + A^2 \frac{c}{\rho} \frac{\partial p}{\partial t} + l_i^{(2)} \frac{\partial B^i}{\partial t} + A\varepsilon G \left\{ l_i^{(1)} \frac{\partial v^i}{\partial \tau} + A^2 \frac{c}{\rho} \frac{\partial p}{\partial \tau} + l_i^{(2)} \frac{\partial B^i}{\partial \tau} \right\} + \dots = 0; \quad (2)$$

$$l_i^{(1)} = A \left\{ cn_i - \frac{A^2 B_n c \xi g^{\alpha\beta} B_\alpha^{(1)} (\partial x_i / \partial u^\beta)}{4\pi \rho (1 - A^2 B_n^2 / (4\pi \rho))} \right\},$$

$$l_i^{(2)} = \frac{A^2 c}{4\pi \rho} \xi \frac{g^{\alpha\beta} B_\alpha^{(1)} (\partial x_i / \partial u^\beta)}{1 - A^2 B_n^2 / (4\pi \rho)},$$

$$A^2 = \frac{E - \sqrt{E^2 - c^2 B_n^2 / (\pi \rho)}}{c^2 B_n^2 / (\pi \rho)},$$

$$E = \left\{ B_n^2 + (\xi B_t^{(1)})^2 \right\} \frac{1}{4\pi \rho} + c^2, \quad \xi = \frac{1 - 1/M_a^2}{\varepsilon - 1/M_a^2},$$

где  $c$  — скорость звука,  $B_n, B_t$  — нормальная и касательная компоненты вектора индукции магнитного поля, многоточием обозначены члены, содержащие производные по  $u^1$  и  $u^2$ .

Предполагается, что перед ударной волной все параметры среды однородны и не зависят от времени.

Из уравнения (2) с учетом граничных условий на фронте волны можно получить выражение для изменения скорости ударной волны вдоль луча:

$$\frac{dG}{dt} = -Q_1 \frac{1}{r_B} + Q_2 \cdot 2H; \quad Q_1, Q_2 > 0. \quad (3)$$

Здесь  $Q_1, Q_2$  зависят от числа Маха  $M$ , числа Альвена  $M_a$  и угла  $\Theta$ .  $H$  — средняя кривизна фронта ударной волны,  $r_B$  — радиус кривизны сечения фронта ударной волны плоскостью, проходящей через нормаль и вектор  $\mathbf{B}$ . Символ  $\frac{d}{dt}$  обозначает изменение соответствующей величины вдоль луча.

При выводе уравнения (3) мы учли, что скорость ударной волны постоянна вдоль фронта в начальный момент. Кроме того, мы приравняли нулю выражение

$$l_i^{(1)} \frac{\partial v^i}{\partial \tau} + A^2 \frac{c}{\rho} \frac{\partial p}{\partial \tau} + l_i^{(2)} \frac{\partial B^i}{\partial \tau},$$

учтя таким образом тот факт, что в начальный момент времени возмущения распространяются от фронта волны, а не к нему.

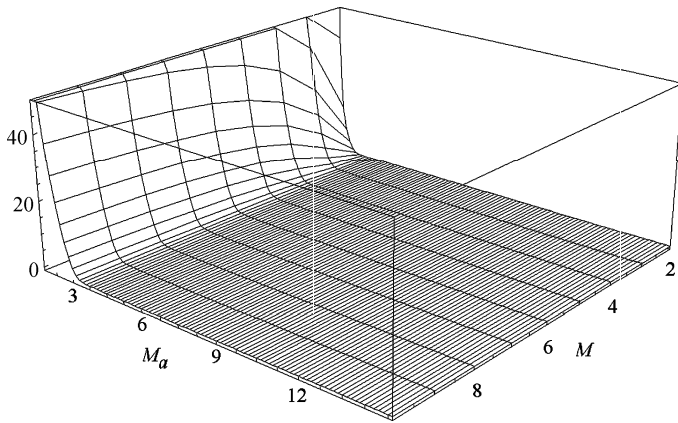
Из уравнения (3) вытекает условие неустойчивости:

$$2|H||r_B| < \Psi, \quad \Psi = \frac{Q_1}{Q_2}.$$

В частном случае, когда радиус кривизны в данной точке фронта волны не зависит от направления, условие неустойчивости упрощается:

$$\Psi > 2.$$

График функции  $\Psi$  в зависимости от числа Маха и числа Альвена при  $\gamma = 2$ ,  $\Theta = 20^\circ$  показан на рисунке.



Зависимость  $\Psi$  от числа Маха и числа Альвена при  $\gamma = 2$ ,  $\Theta = 20^\circ$

Если магнитное поле направлено по нормали к фронту ударной волны, то неустойчивость отсутствует.

Работа выполнена при финансовой поддержке РФФИ (проект № 01-02-16628).

#### Литература

1. Дьяков С.П. // ЖЭТФ. 1954. **27**. С. 288.
2. Конторович В.М. // Акуст. журн. 1959. **5**. С. 314.
3. Иорданский С.В. // Прикл. матем. и мех. 1957. **21**. С. 465.
4. Андерсон Э. Ударные волны в магнитной гидродинамике. М., 1968.

Поступила в редакцию  
11.07.02

УДК 519.2:534

## О ПАРАМЕТРИЧЕСКИХ АЛГОРИТМАХ РАСПОЗНАВАНИЯ

Э. А. Кирнос, Ю. П. Пытьев

(кафедра компьютерных методов физики)

Рассмотрено влияние состава обучающей выборки на качество распознавания объектов в шуме алгоритмами «Кора», «ТЕМР», «R-метод», «CORAL». Алгоритмы рассматриваются на примере задачи распознавания искаженных шумом черно-белых изображений и сравниваются с алгоритмами морфологического анализа монохромных (gray scale) изображений [1, 2] и морфологического анализа изображений ламбертовых объектов [3]. Статья является продолжением исследований, описанных в работе [4].

Известные параметрические модели алгоритмов распознавания «Кора» [5], «ТЕМР» [6], «R-метод» [6] и «CORAL» [7] предназначены для решения задач распознавания с обучением. Алгоритм «Кора» является наиболее известным алгоритмом распознавания для булевых признаков [5]. Он основывается на построении информативных фрагментов описаний обучающих объектов — представительных наборов. Представительными наборами обучающих объектов считаются те фрагменты описаний обучающих объектов, которые по данному набору признаков достаточно часто встречаются в одном обучающем классе и почти не встречаются в остальных обучающих классах [4, 8]. Множество представительных наборов определяется заданием двух целочисленных параметров. Варьируя эти параметры, можно менять множество представительных наборов [8].

Алгоритмы «ТЕМР», «R-метод» и «CORAL» являются алгоритмами распознавания, основанными на обнаружении логических закономерностей в множествах обучающих объектов в случае разнотипных признаков: булевых, номинальных и количественных. Процесс построения логических закономерностей для подобных алгоритмов называется построением логических решающих правил [6]. Для этих трех алгоритмов решающее правило представляется

в виде дерева решений. Такая форма представления правил позволяет легко интерпретировать их на языке функциональных свойств объекта [7].

Результаты исследования этих алгоритмов показали возможность их использования в задачах распознавания при ограниченной априорной информации. Этот вывод основан на сравнении этих алгоритмов с двумя морфологическими методами анализа изображений: методом морфологического анализа монохромных изображений [1, 2] и методом морфологического анализа изображений ламбертовых объектов [3]. В качестве исходных данных для тестирования алгоритмов использовались черно-белые изображения цифр размером  $20 \times 20$  пикселей. Изображения для эксперимента формировались следующим образом. Генератор случайных чисел генерировал целые числа в интервале  $[0, 100]$ . Назовем уровнем шума  $q\%$  целое число  $q$ , лежащее в интервале  $[0, 100]$ . Просматривался каждый пиксел изображения и анализировалось число, сгенерированное датчиком случайных чисел на очередном шаге. Если число попадало в интервал  $[0, q]$ , то пиксел инвертировался. Тем самым при  $0\%$ -м уровне шума ( $q = 0$ ) получалось чистое изображение, при  $50\%$ -м уровне шума ( $q = 50$ ) инвертировалось  $50\%$  пикселей изображения, а при  $100\%$ -м шу-